

ANALISIS SUPERKONDUKTOR $YBa_2Cu_3O_{7-x}$
UNTUK APLIKASI RANCANG BANGUN SIKLOTRON
DI PUSAT SAINS DAN TEKNOLOGI AKSELERATOR
BADAN TENAGA NUKLIR NASIONAL (PSTA – BATAN)
YOGYAKARTA
SKRIPSI

**Untuk memenuhi sebagian persyaratan
Mencapai derajat Sarjana S-1**

Program Studi Fisika



Disusun oleh :

**SUSI SUSANTI
11620011**

Kepada

PROGRAM STUDI FISIKA

FAKULTAS SAINS DAN TEKNOLOGI

UNIVERSITAS ISLAM NEGERI SUNAN KALIJAGA

YOGYAKARTA

2015

**SURAT PERSETUJUAN SKRIPSI/TUGAS AKHIR**

Hal : pengajuan Munaqosyah

Lamp : -

Kepada

Yth. Dekan Fakultas Sains dan Teknologi

UIN Sunan Kalijaga Yogyakarta

di Yogyakarta

Assalamu'alaikum wr. wb.

Setelah membaca, meneliti, memberikan petunjuk dan mengoreksi serta mengadakan perbaikan seperlunya, maka kami selaku pembimbing berpendapat bahwa skripsi Saudara:

Nama : Susi Susanti

NIM : 11620011

Judul Skripsi : ANALISIS SUPERKONDUKTOR $YBa_2Cu_3O_{7-x}$ UNTUK APLIKASI RANCANG BANGUN SIKLotron DI PSTA – BATAN YOGYAKARTA

sudah dapat diajukan kembali kepada Program Studi Fisika Fakultas Sains dan Teknologi UIN Sunan Kalijaga Yogyakarta sebagai salah satu syarat untuk memperoleh gelar Sarjana Strata Satu dalam Fisika

Dengan ini kami mengharap agar skripsi/tugas akhir Saudara tersebut di atas dapat segera dimunaqsyahkan. Atas perhatiannya kami ucapan terima kasih.

Wassalamu'alaikum wr. wb.

Yogyakarta, September 2015

Pembimbing I

Prof. Dr. Rer. Nat. Tri Mardji Atmono
NIP. 19580614 198103 1 004

**SURAT PERSETUJUAN SKRIPSI/TUGAS AKHIR**

Hal : pengajuan Munaqosyah

Lamp : -

Kepada

Yth. Dekan Fakultas Sains dan Teknologi

UIN Sunan Kalijaga Yogyakarta

di Yogyakarta

Assalamu'alaikum wr. wb.

Setelah membaca, meneliti, memberikan petunjuk dan mengoreksi serta mengadakan perbaikan seperlunya, maka kami selaku pembimbing berpendapat bahwa skripsi Saudara:

Nama : Susi Susanti

NIM : 11620011

Judul Skripsi : ANALISIS SUPERKONDUKTOR $YBa_2Cu_3O_{7-x}$ UNTUK APLIKASI RANCANG BANGUN SIKLOTRON DI PSTA – BATAN YOGYAKARTA

sudah dapat diajukan kembali kepada Program Studi Fisika Fakultas Sains dan Teknologi UIN Sunan Kalijaga Yogyakarta sebagai salah satu syarat untuk memperoleh gelar Sarjana Strata Satu dalam Fisika

Dengan ini kami mengharap agar skripsi/tugas akhir Saudara tersebut di atas dapat segera dimunaqsyahkan. Atas perhatiannya kami ucapan terima kasih.

Wassalamu'alaikum wr. wb.

Yogyakarta, September 2015

Pembimbing II


Asih Melati, M.Sc
NIP. 19841110 201101 2 017



Universitas Islam Negeri Sunan Kalijaga

FM-UINSK-BM-05-07/R0

PENGESAHAN SKRIPSI/TUGAS AKHIR

Nomor : UIN.02/D.ST/PP.01.1/3041/2015

Skripsi/Tugas Akhir dengan judul

: Analisis Superkonduktor $YBa_2Cu_3O_{7-x}$ Untuk Aplikasi Rancang Bangun Siklotron di Pusat Sains dan Teknologi Akselerator Badan Tenaga Nuklir Nasional (PSTA – BATAN) Yogyakarta

Yang dipersiapkan dan disusun oleh

: Susi Susanti

Nama

: 11620011

NIM

: 28 September 2015

Telah dimunaqasyahkan pada

: A

Nilai Munaqasyah

Dan dinyatakan telah diterima oleh Fakultas Sains dan Teknologi UIN Sunan Kalijaga

TIM MUNAQASYAH :

Ketua Sidang

Prof.Dr.Rer.Nat. Tri Mardji Atmono
NIP.195806141981031004

Pengaji I

Asih Melati, S.Si.,M.Sc.
NIP.198411102011012017

Pengaji II

Karmanto, S.Si., M.Sc.
NIP. 19820504 200912 1 005

Yogyakarta, 30 September 2015

UIN Sunan Kalijaga
Fakultas Sains dan Teknologi

Dekan



Dr. H. Maizer Said Nahdi, M.Si
NIP. 19550427 198403 2 001

HALAMAN PERSETUJUAN PSTA -BATAN

SKRIPSI

ANALISIS SUPERKONDUKTOR $YBa_2Cu_3O_{7-x}$

**UNTUK APLIKASI RANCANG BANGUN SIKLOTRON
DI PUSAT SAINS DAN TEKNOLOGI AKSELERATOR
BADAN TENAGA NUKLIR NASIONAL (PSTA – BATAN)**

YOGYAKARTA

Disusun oleh:

Susi Susanti

11620011

Telah disetujui dan disahkan oleh

**Pusat Sains dan Teknologi Akselerator
(PSTA – BATAN Yogyakarta)**

Kepala BFP PSTA – BATAN

**Ir. Slamet Santoso, M.Sc
NIP 19580223 197903 1 003**

Pembimbing

**Prof. Dr. Rer. Nat. Tri Mardji Atmono
NIP. 19580614 198103 1 004**

Yogyakarta, Oktober 2015

Mengetahui,



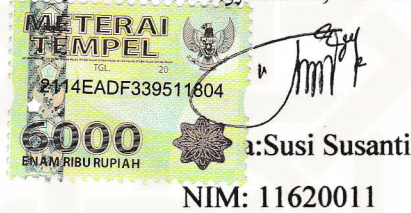
Kepala PSTA – BATAN

**Dr. Susilo Widodo
NIP. 19580414 198003 1 005**

PERNYATAAN BEBAS PLAGIARISME

Saya menyatakan bahwa skripsi yang saya susun, sebagai syarat memperoleh gelar sarjana merupakan hasil karya tulis saya sendiri. Adapun bagian-bagian tertentu dalam penulisan skripsi ini yang saya kutip dari hasil karya orang lain telah dituliskan sumbernya secara jelas sesuai dengan norma, kaidah dan etika penulisan ilmiah. Saya bersedia menerima sanksi pencabutan gelar akademik yang saya peroleh dan sanksi-sanksi lainnya sesuai dengan peraturan yang berlaku, apabila dikemudian hari ditemukan adanya plagiat dalam skripsi ini.

Yogyakarta, 15 September 2015



MOTTO DAN PERSEMPAHAN

MOTTO

Dunia ini tiada jaminan melainkan satu peluang

PERSEMPAHAN

Karya sederhana ini saya persembahkan untuk Ayah ,Ibu dan kakak tercinta yang telah mendukungku, memberikan motivasi dalam segala hal serta memberikan kasih sayang yang tiada terhingga.

KATA PENGANTAR

Segala puji bagi Allah SWT yang telah memelihara seluruh alam semesta beserta isinya. Shalawat serta salam atas junjungan Nabi Muhammad SAW., keluarga, para sahabat dan orang – orang yang senantiasa mengikuti sunah – sunahnya. Semoga allah SWT meridhoi orang – orang yang selalu berada di jalannya.

Penulis menyadari bahwa dalam penyusunan skripsi ini tidak lepas dari adanya kerjasama dan bantuan dari berbagai pihak. Oleh karena itu dengan segenap kerendahan hati pada kesempatan ini penulis mengucapkan terima kasih kepada pihak-pihak berikut.

1. Bapak Dr.Susilo Widodo selaku kepala PSTA Pusat Sains dan Teknologi Akselerator Badan Tenaga Nuklir Nasional (PSTA – BATAN).
2. Bapak Ir. Slamet Santosa, M.Sc, selaku kepala BFP PSTA BATAN yang senantiasa memberikan semangat, arahan serta bimbingan kepada penulis dalam menyelesaikan laporan ini.
3. Bapak Agung Frida Rohmadi M, Sc selaku Ketua Program Studi Jurusan Fisika UIN Sunan Kalijaga yang telah memberikan izin dalam penyusunan skripsi.
4. Bapak Prof. Dr. Rer. Nat Trimardji Atmono selaku pembimbing pertama yang telah meluangkan waktu dan pemikirannya dalam membimbing penulis sehingga skripsi ini dapat dilaksanakan dengan baik.
5. Ibu Asih Melati, M.Sc selaku pembimbing kedua.
6. Bapak Karmanto, S.Si, M.Sc selaku penguji.

7. Ibu Retno Rahmawati, M.Si selaku penasihat Akademik penulis.
8. Semua staf Tata Usaha dan Karyawan dilingkungan Fakultas Sains dan Teknologi UIN Sunan Kalijaga yang secara langsung maupun tidak langsung telah membantu terselesaikannya skripsi ini.
9. Keluarga tercinta yang telah melimpahkan kasih sayangnya kepada penulis.
10. Saudara dan sahabatku Fisika 2011 seta semua pihak yang tidak mungkin disebutkan satu persatu.

Semoga segala bantuan yang telah diberikan kepada penulis menjadi amalan yang akan mendapatkan balasan dari Allah SWT. Di akhir kata, penulis berharap semoga laporan kerja praktek ini dapat memberikan manfaat bagi berbagai pihak.

Yogyakarta, September 2015

Penulis

ANALISIS SUPERKONDUKTOR $\text{YBa}_2\text{Cu}_3\text{O}_{7-x}$
UNTUK APLIKASI RANCANG BANGUN SIKLOTRON
DI PUSAT SAINS DAN TEKNOLOGI AKSELERATOR
BADAN TENAGA NUKLIR NASIONAL
(PSTA – BATAN) YOGYAKARTA

Susi Susanti
11620011

INTISARI

Y $\text{Ba}_2\text{Cu}_3\text{O}_{7-x}$ (YBCO) merupakan jenis superkonduktor suhu tinggi dengan temperatur kritis sekitar 93,8K yang dapat didinginkan menggunakan nitrogen cair (77K). Penelitian ini bertujuan untuk mengkaji karakteristik bahan superkonduktor YBCO menggunakan *X-Ray Diffraction* dan memperoleh kandungan oksigen pada disk superkonduktor YBCO dengan analisis software Rietica serta memperoleh besarnya medan magnet dengan melakukan kajian bahan superkonduktor YBCO untuk aplikasi rancang bangun siklotron. Sampel YBCO diuji dengan karakterisasi XRD dan dianalisa menggunakan software Rietica serta dilanjutkan kajian aplikasi medan magnet untuk aplikasi rancang bangun siklotron DECY-13 MeV di Pusat Sains Dan Teknologi Akselerator Badan Tenaga Nuklir Nasional (PSTA – BATAN). Hasil difraktogram XRD dilanjutkan pencocokan dengan database COD (*Crystallography Open Database*) versi 20150107 menggunakan program match. Sample YBCO memiliki struktur kristal orthorombik dan *space group* pmmm (47). Hasil refinement dengan software Rietica memberikan informasi bahwa superkonduktor YBCO yang diperoleh secara komersial memiliki oksigen – content 6,97. Pada kajian aplikasinya, superkonduktor YBCO dapat digunakan sebagai koil yang dililitkan pada *pole iron* magnet yang berdiameter 0,99 m. Untuk memperoleh energi proton 205 MeV diperlukan medan magnet 5,84 T dengan menggunakan kabel YBCO produksi AMSC. Kriteria desain untuk instalasi siklotron yang disesuaikan dengan PSTA – BATAN mengacu pada tiga referensi, yaitu siklotron VECC, Cyclone 235 IBA dan Sumintomo. Masalah lain yang muncul pada sistem elektromagnet menggunakan superkonduktor adalah terjadinya penyebaran berkas yang diakibatkan oleh efek isokronus.

Kata kunci:, medan magnet, rietica, siklotron, superkonduktor $\text{YBa}_2\text{Cu}_3\text{O}_{7-x}$ (YBCO), XRD

**ANALISYS OF SUPERCONDUCTING $\text{YBa}_2\text{Cu}_3\text{O}_{7-x}$
FOR THE CYCLOTRON DESIGN APPLICATIONS
IN NATIONAL NUCLEAR ENERGY AGENCY (PSTA - BATAN)
YOGYAKARTA**

Susi Susanti

11620011

ABSTRACT

$\text{YBa}_2\text{Cu}_3\text{O}_{7-x}$ (YBCO) is a kind of high temperature superconductor it has critical temperature 93,8K which can be cooled using liquid nitrogen (77K). This study aims to determine the characteristics of YBCO superconductor materials using *X-Ray Diffraction* and obtain to oxygen content analisys by Rietica software and determine the magnetic field magnitude by conducting studies YBCO material for design cyclotron application. YBCO superconducting characterization has been performed by XRD's test and analysis by Rietica software then continued with studying magnetic fields application for cyclotron design application Decy-13 MeV in PSTA - BATAN. The result of diffractogram XRD continued by fitting COD database (*Crystallography Open Database*) 20150107 versions using Match program. Sample YBCO has orthorhombic crystalline structure and space group pmmm (47). The result of refinement with Rietica software provide information that the YBCO superconductor obtained commercially have oxygen - content 6,97. The study of that applications, YBCO superconductors can be used as a coil that wrapped around a pole iron magnet 0,99 m diameter. To obtain a 205 MeV proton energy required 5.84 T magnetic field with YBCO superconductor cable AMSC production. The design criteria for the installation of the cyclotron adapted to PSTA - BATAN based on the three references, cyclotron VECC, Cyclone 235 IBA and Sumintomo. Another problem that occurs in electromagnet system with superconductor is the spread of the beam caused by the effects of isochronous.

Keywords: $\text{YBa}_2\text{Cu}_3\text{O}_{7-x}$ (YBCO) superconductor, XRD, rietica, magnetic field, cyclotron.

DAFTAR ISI

HALAMAN JUDUL	i
HALAMAN PERSETUJUAN PEMBIMBING	ii
HALAMAN PENGESAHAN.....	iv
HALAMAN PERSETUJUAN PSTA – BATAN	v
HALAMAN PERNYATAAN BEBAS PLAGIARISME	vi
MOTTO DAN PERSEMBAHAN	vii
KATA PENGANTAR	viii
INTISARI.....	x
ABSTRACT	xi
DAFTAR ISI.....	xii
DAFTAR TABEL.....	xiv
DAFTAR GAMBAR	xv
DAFTAR LAMPIRAN	xvi
DAFTAR LAMBANG DAN SINGKATAN	xvii
BAB I PENDAHULUAN	1
1.1.Latar Belakang	1
1.2.Rumusan Masalah	5
1.3.Tujuan Penelitian	6
1.4.Batasan Masalah.....	6
1.5.Manfaat Penelitian	7
Bab II TINJAUAN PUSTAKA	8
2.1.Landasan Pustaka	8
2.2.Landasan Teori.....	11
2.2.1. Superkonduktor	11
2.2.2. Superkonduktor YBCO	18
2.2.3. Siklotron.....	21
2.2.4. XRD	24

2.2.5. Rietica	26
BAB III METODE PENELITIAN.....	31
3.1.Waktu dan Tempat.....	31
3.2.Alat dan Bahan.....	31
3.3.Prosedur Kerja.....	33
BAB IV HASIL DAN PEMBAHASAN	35
4.1. Karakterisasi XRD (<i>X-Ray Diffraction</i>).....	35
4.2. Analisis Material $YBa_2Cu_3O_{7-x}$ menggunakan software Rietica	37
4.3. Kajian superkonduktor $YBa_2Cu_3O_{7-x}$ untuk aplikasi rancang bangun siklotron	41
BAB V PENUTUP.....	50
5.1. Kesimpulan	50
5.2. Saran.....	51
DAFTAR PUSTAKA	52
LAMPIRAN.....	58

DAFTAR TABEL

Tabel 2.1 Parameter lattice a,b,c, dari produksi pada tekanan 3, 5 dan 9 ton	8
Tabel 2.2 Parameter dari sektor magnet.....	9
Tabel 2.3 Parameter KIRAMS – 30 Magnet.....	10
Tabel 2.4 Karakteristik YBCO dari peneliti sebelumnya	20
Tabel 4.1 parameter kisi sampel $\text{YBa}_2\text{Cu}_3\text{O}_{7-x}$	37
Tabel 4.2 Nilai FOM hasil penghalusan dengan software Rietica.....	39
Tabel 4.3. Parameter kerangka siklotron.....	48
Tabel 4.4 Jenis isotop pada energi > 30 MeV	49

DAFTAR GAMBAR

Gambar 1.1 Superkomputer	2
Gambar 2.1 Hubungan antara suhu terhadap resistivitas listrik.....	13
Gambar 2.2 Efek Meissner.....	15
Gambar 2.3 Bahan superkonduktor yang melayangkan medan magnet diatasnya	15
Gambar 2.4 Fluks magnet pada jangkauan medan kritis	17
Gambar 2.5 Struktur Perovskite ABX_3	18
Gambar 2.6 Struktur perovskite dari YBCO.....	19
Gambar 2.7 Variasi kekosongan oksigen x terhadap temperatur TC $YBa_2Cu_3O_{7-x}$	20
Gambar 2.8 Skema percepatan partikel didalam siklotron	21
Gambar 2.9 Difraksi sinar-x oleh atom-atom pada bidang	25
Gambar 2.10 Tampilan Rietica ketika di buka.....	27
Gambar 2.11 Tampilan Rietica ketika dipilih File- New	27
Gambar 2.12 Tampilan Rietica yang berisi informasi umum	28
Gambar 2.13 Tampilan Rietica untuk Histogram	28
Gambar 2.14 Tampilan Rietica yang berisi data kristalografi	29
Gambar 2.15 Tampilan Rietica untuk langkah pencocokan pola difraksi	29
Gambar 2.16 Output software Rietica.....	30
Gambar 3.1 Skema alat karakterisasi XRD	31
Gambar 3.2 Diagram alir Penelitian.....	33
Gambar 3.3 Prosedur analisa pola difraksi menggunakan software Rietica	34
Gambar 4.1 Difaktogram XRD dari suprkonduktor $YBa_2Cu_3O_{7-x}$	35
Gambar 4.2 Fitting hasil XRD menggunakan software Match.....	36
Gambar 4.3 Hasil penghalusan dengan software Rietica.....	38
Gambar 4.4 Variasi temperatur kritis (Tc) dengan oksigen – <i>content</i>	40
Gambar 4.5 Grafik hubungan antara medan magnet (B) terhadap energi ekstraksi	41
Gambar 4.6 Tampang lintang kabel superkonduktor YBCO	42
Gambar 4.7 Sistem cryostat VECC siklotron superkonduktor	43

Gambar 4.8 Siklotron superkonduktor K500	44
Gambar 4.9 Skema siklotron IBA C235	45
Gamar 4.10 Siklotron superkonduktor sumitomo (a) dan Cryostat superkonduktor (b)	46
Gambar 4.11 Design siklotron dan b) cross section aliran cryogenic.....	47



DAFTAR LAMPIRAN

Lampian 1

A. Hasil XRDdi fitted menggunakan sotware Match!	58
B. Fitting data XRD dengan database kode vesi 20150107 menggunakan software Match.....	58
C. Perhitungan ideks Miller	60

Lampian 2.....

A. Output Rietica untuk oksige content 6,97	61
B. Data hasil analisa dengan sftwae Rietca	64

Lampiran 3 Design Siklotron

A. Perhitngan medan magnet	71
B. Data dimensi kawat Superkonduktor	72

DAFTAR LAMBANG DAN SINGKATAN

Lambang

<u>Lambang</u>	<u>kuantitas</u>	<u>Satuan</u>
B	Medan magnet	Tesla (T)
Jc	Densitas arus	A/cm ²
Tc	Temperature Kritis	K
ρ	Resistivitas	ohm meter

Lambang Definisi

Cd	Cadmium
Fe	Ferrum (Besi)
Ga	Galium

Singkatan

AMSC *American Superconductor Corp*

ANSTO *Australian Nuclear Science and Technology Organization*

BATAN Badan Tenaga Nuklir Naional

FWHM *Full Width at Half Maximum*

FOM *Figure Of Merit*

GOF *Goodnes offit*

HTS *High Temperature Superconducting*

IBA *Ion Beam Apication*

ICSD *Inorganic Crystal Structure Database*

IAEA *International Atomic Energy Agency*

Maglev *Magnetic LevitationTrain*

PITM *Power-in-tube-methode*

PSTA Pusat Sains dan Teknologi Aselerator

SQQ *Solenod-Quadrapole-Quadrapole*

VECC *Variable Energy Cyclotron Center*

XRD *X-Ray Difraction*

BAB I

PENDAHULUAN

1.1 Latar Belakang

Siklotron merupakan piranti untuk mempercepat gerak partikel bermuatan listrik. Siklotron dikembangkan pada tahun 1930 oleh E. O. Lawrence (1901-1958), dengan menggunakan sebuah medan magnetik untuk menjaga agar ion-ion bermuatan (biasanya proton) bergerak dalam lintasan melingkar. Dalam piranti siklotron, percepatan gerak partikel dipengaruhi oleh medan listrik dan induksi medan magnet yang timbul dari kumparan.

Selama siklotron beroperasi akan terjadi kenaikan temperatur pada penampang arus kumparan yang diakibatkan oleh adanya hambatan arus listrik. Oleh karena itu, diperlukan suatu bahan untuk meminimalkan hambatan. Bahan penghantar yang lebih menjanjikan dan dikembangkan para ilmuan adalah superkonduktor. Superkonduktor yang dikaji dalam penelitian adalah superkonduktor YBCO.

Superkonduktor adalah suatu material yang tidak memiliki hambatan di bawah suatu nilai suhu tertentu, sehingga superkonduktor dapat menghantarkan arus walaupun tanpa adanya sumber tegangan. Karakteristik dari bahan superkonduktor adalah medan magnet dalam superkonduktor bernilai nol dan mengalami efek meissner. Superkonduktor kini telah banyak digunakan dalam berbagai bidang. Dibidang komputer, superkonduktor digunakan untuk membuat suatu

superkomputer dengan kemampuan berhitung hingga 33,86 petaflops (kalkulasi 1000 triliun) per detik (Deulisno, 2013).



Gambar 2.1 Superkomputer (Deulisno, 2013)

Superkonduktor $YBa_2Cu_3O_{7-x}$ merupakan salah satu magnet permanen yang diklasifikasikan kedalam superkonduktor suhu tinggi (HTS) yang dapat menghasilkan medan magnet sekitar 17 T (Qiu-Liang, 2013). Suhu kritis superkonduktor $YBa_2Cu_3O_{7-x}$ yaitu sekitar 92K. $YBa_2Cu_3O_{7-x}$ terdiri atas *yttrium – barium – copper – oxide* merupakan superkonduktor yang memiliki kristal banyak lapisan.

Salah satu aplikasi superkonduktor T_c tinggi yaitu pada kereta magnet / Maglev (*Magnetic Levitation Train*) di Jepang. Kereta api supercepat ini dapat melayang diatas magnet superkonduktor. Dengan melayang, maka gesekan antara roda dengan rel dapat dihilangkan dan akibatnya kereta dapat berjalan dengan sangat cepat. Kereta Maglev mampu melaju dengan kecepatan 603 Km/jam yang dieksperimenkan di jalur rel Yamanashi pada hari Selasa, 21 April 2015. (Yusuf HA, 2015)

Manusia diciptakan oleh Allah s.w.t pada dasarnya memiliki dua peran atau fungsi, yaitu sebagai hamba Allah serta Khalifah di muka bumi. Firman Allah s.w.t dalam surah al-baqarah ayat 30:

وَإِذْ قَالَ رَبُّكَ لِلْمَلَائِكَةِ إِنِّي جَاعِلٌ فِي الْأَرْضِ خَلِيفَةً قَالُوا أَتَجْعَلُ فِيهَا مَنْ يُفْسِدُ فِيهَا وَيَسْفِلُ الْدِيمَاءَ وَنَحْنُ نُسَبِّحُ بِحَمْدِكَ وَنُقَدِّسُ لَكَ قَالَ إِنِّي أَعْلَمُ مَا لَا تَعْلَمُونَ ﴿٣٠﴾

Artunya: “*Ingatlah ketika Tuhanmu berfirman kepada para Malaikat: "Sesungguhnya Aku hendak menjadikan seorang khalifah di muka bumi". Mereka berkata: "Mengapa Engkau hendak menjadikan (khalifah) di bumi itu orang yang akan membuat kerusakan padanya dan menumpahkan darah, padahal kami senantiasa bertasbih dengan memuji Engkau dan mensucikan Engkau?" Tuhan berfirman: "Sesungguhnya Aku mengetahui apa yang tidak kamu ketahui".* (QS Al Baqarah:30).

Menurut tafsir Ijmali ayat di atas menjelaskan ketetapan Allah menjadikan manusia sebagai khalifah Allah di muka bumi. Yang dimaksud dengan khalifah ialah makhluk Allah yang mendapat kepercayaan untuk menjalankan kehendak Allah dan menerapkan ketetapan-ketetapan-Nya di muka bumi. Untuk menjalankan fungsi kekhilafahan itu Allah mengajarkan kepada manusia ilmu pengetahuan. Dengan ilmu pengetahuan manusia mempunyai kemampuan memelihara dan melestarikan alam, mengambil manfaat, serta mengelola kekayaan alamnya sehingga terwujud kedamaian dan kesejahteraan segenap manusia (Mu'thi, 2012)

Kata Al-Asma’, secara harfiah berarti “nama-nama”, yang dimaksud ialah al-asyya’ al-musammayat (benda-benda yang diberi nama). Mengajarkan nama-nama artinya mengajarkan pengetahuan

tentang benda-benda, sifatnya, fungsinya, kegunaannya dan sebagainya. Ayat al-Quran memerintahkan manusia untuk merenungi kejadian-kejadian di alam semesta. Perenungan itu di satu sisi akan mengantarkannya kepada pengenalan yang semakin baik dan di sisi lain, kepada penguasaan ilmu dan teknologi bagi kesejahteraan dan kelestarian manusia dibumi. Allah SWT berfirman:

مَرْجَ الْبَحْرَيْنِ يَلْتَقِيَانِ ﴿١٥﴾ فِي أَيِّ عَالَمٍ رَبِّكُمَا
بَيْنَهُمَا بَرَّخٌ لَا يَبْغِيَانِ ﴿١٦﴾
تُكَذِّبَانِ ﴿١٧﴾

Artinya: “*Dia membiarkan dua lautan mengalir yang keduanya keduian bertemu. Antara keduanya ada batas yang tidak dilampaui masing-masing. Maka nikmat Tuhan kamu yang manakah yang kamu dustakan*”.

Berdasarkan tafsir Fi Zhilalil-Qur'an yang dimaksud dengan dua lautan ialah lautan yang asin dan yang tawar. Yang asin meliputi laut dan samudra, sedangkan yang tawar mencakup berbagai sungai. Marajal Bahrain berarti keduanya bertemu, tetapi keduanya tidak saling melampaui. Masing-masing tidak melampaui batas yang telah ditakdirkan baginya dan tidak melampaui fungsi yang dimilikinya. Diantara keduanya terdapat pemisah yang merupakan ciptaan allah yang maha kuasa.

Dua lautan yang tidak pernah bertemu yaitu arus panas (Kuroshio) dan arus dingin (Oyashio). Arus panas (Kuroshio) suhunya mencapai $30^{\circ}C$, sedangkan arus dingin (Oyashio) suhunya sekitar $-1,7^{\circ}C$ (waterenciclopedia, 2015). Pertemuan arus panas dan arus dingin yang sejuk merupakan perumpamaan pembatas yang tidak saling melampaui.

Akal manusia tidak akan mampu (terbatas/ dibatasi oleh allah) mencerna hal-hal yang ghoib (tersembunyi) dan yang harus digunakan adalah cahaya yaitu Al-Quran.

Penelitian ini akan dilakukan kajian perhitungan dengan bahan superkonduktor $YBa_2Cu_3O_{7-x}$ pada suhu kritis sekitar -181^0C untuk menghasilkan medan magnet yang besar, sehingga nantinya diperoleh tenaga siklotron >13 MeV atau mungkin bisa mencapai lebih besar 30 MeV. Pengamatan dari sifat superkonduktor $YBa_2Cu_3O_{7-x}$ menggunakan bahan superkonduktor komersial dari perusahaan *cansuperconductors.s.r.o.* Uji bahan dilakukan dengan karakterisasi XRD yang kemudian dilanjutkan dengan analisis struktur kristal menggunakan software Rietica.

1.2 Rumusan Masalah

Masalah yang menjadi dasar penelitian ini adalah:

1. Bagaimana karakteristik superkonduktor $YBa_2Cu_3O_{7-x}$ yang diidentifikasi menggunakan *X-Ray Difraction?*
2. Berapa kandungan oksigen dari sampel superkonduktor $YBa_2Cu_3O_{7-x}$ yang dimodelkan dengan software Rietica ?
3. Berapa besarnya medan magnet yang dihasilkan bahan superkonduktor $YBa_2Cu_3O_{7-x}$ untuk dapat diaplikasikan pada rancang bangun siklotron?

1.3 Tujuan Penelitian

Tujuan dari penelitian ini adalah:

1. Mengkaji karakteristik bahan superkonduktor $YBa_2Cu_3O_{7-x}$ produksi dari *can-superconductors.s.r.o* menggunakan *X-Ray Difraction*.
2. Memperoleh kandungan oksigen pada disk superkonduktor $YBa_2Cu_3O_{7-x}$ produksi dari *can-superconductors.s.r.o* yang dimodelkan dengan software *Rietica*.
3. Memperoleh besarnya medan magnet dengan melakukan kajian bahan superkonduktor $YBa_2Cu_3O_{7-x}$ untuk aplikasi rancang bangun siklotron.

1.4 Batasan Masalah

Penelitian ini dalam pengerjaan, pembahasan dan penulisannya dibatasi oleh beberapa hal, yaitu sebagai berikut:

1. Bahan yang digunakan adalah $YBa_2Cu_3O_{7-x}$ yang diperoleh secara komersial. Bahan ini tidak memiliki dokumentasi mengenai spesifikasi struktur kristalnya, sehingga pada penelitian ini difokuskan pada uji karakterisasi bahan menggunakan *X-Ray Difraction*.
2. Karakterisasi XRD digunakan untuk mengetahui fasa, struktur Kristal, system Kristal dan *space group* secara kualitatif.
3. Penelitian ini akan dilakukan refinement dengan menggunakan software Rietica untuk menghasilkan data kuantitatif yang akurat.

4. Kajian superkonduktor untuk menghasilkan medan magnet dilakukan dengan perhitungan pada koil solenoida.
5. Perhitungan medan magnet digunakan untuk menghasilkan energi 30 MeV – 205 MeV.
6. Penelitian ini dilakukan sebagai studi awal pendahuluan untuk penelitian selanjutnya.

1.5 Manfaat Penelitian

Manfaat dari penelitian ini adalah:

1. Mengetahui perbandingan antara pola difraksi terukur dan yang terhitung dari bahan superkonduktor $YBa_2Cu_3O_{7-x}$.
2. Memberikan informasi terkait superkonduktor $YBa_2Cu_3O_{7-x}$ yang dikaji untuk aplikasi rancang bangun siklotron.
3. Menjadi referensi untuk penelitian lebih lanjut mengenai rancang bangun siklotron pada aplikasi produksi radioisotop.

BAB V

PENUTUP

5.1 Kesimpulan

Berdasarkan karakterisasi XRD dan analisis Rietica serta kajian aplikasi medan magnet untuk rancang bangun siklotron di PSTA – BATAN dapat disimpulkan sebagai berikut:

1. Puncak – puncak hasil XRD dari sampel YBCO yang diperoleh secara komersial menunjukkan kecocokan antara hasil uji dengan database COD versi 20150107. Sampel YBCO memiliki struktur Kristal orthorombik dan *space group* pmmm(47) yang kemudian dapat dieksekusi menggunakan Rietica.
2. Hasil analisis menggunakan software Rietica menunjukkan data kuantitatif yang ditandai dengan kesesuaian nilai Figure Of Merit (FOM). Berdasarkan analisis Rietica, sample yang diperoleh secara komersial memiliki phase Ytrium Barium Oxide dengan kandungan oksigen 6,97. Hal ini ditunjukkan dengan parameter pada *Figure Of Merit*.
3. Untuk rancang bangun siklotron di PSTA dengan menggunakan bahan superkonduktor YBCO yang dililitkan pada pole iron magnet dengan diameter 0,99 m maka dibutuhkan medan magnet $>2,3\text{T}$ untuk menghasilkan energi $>30 \text{ MeV}$ dan $5,84 \text{ T}$ untuk energi 205 MeV . Adapun perhitungan medan

magnet disesuaikan dengan konduktor YBCO yang berada dipasaran yaitu dengan operasi arus 170 A produksi dari AMSC.

4. Kriteria desain untuk instalasi siklotron yang disesuaikan dengan dimensi di PSTA – BATAN mengacu pada 3 referensi diantaranya siklotron VECC, Cyclone 235 IBA dan Sumitomo, hal ini karena dokumen – dokumen yang memuat informasi tekniknya relatif banyak serta ketiga jenis siklotron tersebut juga digunakan untuk produksi radioisotop yang digunakan untuk aplikasi medis.

5.2. Saran

Berdasarkan penelitian yang telah dilakukan, maka penulis memiliki saran untuk penelitian selanjutnya agar dilakukan kajian lanjutan terkait parameter desain, bentuk siklotron dan keefektifan terhadap pemanfaatan energi yang dihasilkan. Adapun yang perlu diperhatikan dalam penelitian selanjutnya yaitu memperhitungkan efek isokronus, simulasi kinerja cyclotron sebelum diaplikasikan, pengaruh radiasi terhadap lingkungan siklotron. Dengan adanya penelitian lanjutan diharapkan siklotron di PSTA – BATAN dapat terealisasi secara maksimal.

DAFTAR PUSTAKA

- A.I. Papash et all. 2008. *Comercial Cyclotron. Part I: Comercial Cyclotrons in the energy range 10 – 30 MeV for isotope production.* Fizika Elementarnykh Chastits I Atomnogo Yadra Vol 39 No 4. Joint Institute for Nuclear Research: Dubna, Rusia.
- Anonim. http://www-naweb.iaea.org/napc/iachem/trainingmodules/Cyclo_target/o5CCyclotron%20Operations%5CCyclotron_basicspptx. Diakses 6 April 2015.
- Bkash Sinha dan R.K. Bhandari. 2004. *Status of the superconducting cyclotron project at VECC.* Proceeding of APAC 2004, Gyeongju: Korea.
- Chapman, Piers. 2007. *Ocean Currents.* <http://www.waterencyclopedia.com/Mi-Oc/Ocean-Currents.html>. Diakses 11 mei 2015.
- Cyrot M, and Pavuna, D. 1992. *Introduction To Superconductivity and Hight-Tc Material.* Singapore; World scientific.
- Danny R. Graves, PE, MSE. 2008. *Introduction to High Temperature Superconductors.* <http://www.pdhonline.org/courses/e168/e168content.pdf>. Diakses 3 april 2A15.
- Deulisno. 2013. *Inilah 10 Super-Komputer Tercepat di Dunia.* Kompas 19 juni 2013. <http://tekno.kompas.com/read/2013/06/19/18324881/Inilah.10.Super-Komputer.Tercepat.di.Dunia>. Diakses 2 mei 2015
- Dull, R.W, at all. 1994. *A teacher guide to Superconductivity to High School Students.* Largo Florida: 1994.
- FR Sumardi. 2013. *Tinjauan Pustaka.* <http://digilib.unila.ac.id/76/8/BAB%20II.pdf>. Diakses 30 april 2015.
- G, Blatter et al. 1994. *Vortices in high-temperature superconductors.* *Rev. Mod. Phys,* 66.

- H Tsutsui et all. 2013. *Design a Superconducting AVF Cyclotron For Proton Theraphy. Sumitomo Heavy Industries, Ltd, Jepang.*
- Hakola, Antti. 2008. *HTS Material YBCO.*
<http://tfy.tkk.fi/aes/AES/projects/prlaser/material.htm>. Diakses 18 april 2015.
- Heri Sudarmanto, dkk. 2011. *Rancangan Sistem Catu Daya DC 2 kV/ 2A untuk Katoda Sumber Ion Siklotron 13 MeV Berbasis Transformator.* Prosiding Seminar Penelitian dan Pengelolaan Perangkat Nuklir Pusat Teknologi Akselerator dan Proses Bahan.
- IAEA. 2008. *Cyclotron Produced Radionuclide: Principles and Practice.* Technical Report Series no 465. IAEA: Vienna.
- Ismunandar. 2006. *Padatan Oksida Logam.* Institut Teknologi Bandung. Bandung.
- Ismunandar & cun Sen. 2004. *Mengenal Superkonduktor.*
<http://www.fisikanet.lipi.go.id/utama.cgi?artikel&1100396563>. Diakses 10 April 2015.
- Ismunandar dan Sen Cun. 2002. *Mengenal Superkonduktor.*
<http://www.fisikanet.lipi.go.id/utama.cgi?cetakartikel&1100396563>. Diakses 3 april 2015.
- J kang, et all. *Design Of The 30 MeV Cyclotron Magnet.* Proceedings of EPAC 2006. Edinburgh, Scotlandia.
- Joonsun Kang and Yu Seok Kim. 2008. Magnetic Field Design of a KIRAMS –K120 Superconducting Cyclotron. Journal of the Korea Institute of Applied Superconductivity and Cryogenics. Korea
- Kurniawan, MY. 2009. *Analisis Struktur Kristal Superkonduktor BSCCO2212 dengan Menggunakan Metode Rietvield .* Skripsi. Fakultas Sains dan Teknologi Universitas Airlangga. Surabaya.

- Leng, Yang. 2008. *Materials Characterization Introduction to Microscopic and Spectroscopic Methods*. HongKong Universitu of Science and Technology. John Willey: Singapore
- L.E. MURR, A.W. HARE and N.G.EROR, *Introduction The Metal Matrix High Temperature Superconductor*. Advanced Material and Process. 1987.
- Li Chun Liang. 2008. YBCO Superconductor Research Progress. New York: Nova Science Publishers Inc
- M.Parans Paranthaman danTeruo Izumi. 2004. *High – performance YBCO – Coated Superconductor Wire*. Mrs Buletin:DOA.
- Mu'thi Wahib. 2012. *Penciptaan Manusia Sebagai Khalifah Allah Di Muka Bumi*. <http://psq.or.id/artikel/penciptaan-manusia-sebagai-khalifah-allah-di-muka-bumi/>. Diakses 2 Mei 2015.
- Pal g, dkk. 2008. *Cryogenic system for VECC K500 Superconducting cyclotron*. Proceedings of ICEC 22-ICMC, The Korea Institute of Applied Superconductivity and Cryogenics. Kolkata, India.
- Pratapa S dan Dewi Linda K. 2014. Sintesis Fe_2O_3 dari pasir Besi dengan metode Logam terlarur Asam Klorida. Jurnal Sains dan Seni POMITS Vol 3, No 2. ITS: Surabaya
- Purwanto, Joko. 2012. *Nalar Ayat-ayat Semesta*. Bandung:Mizan.
- R. Baquero. *Brief Introduction to Superconductiyity*. Departamento de Fisica, cinvestav. july 2005.

- R.Liang dkk. 2006. *Evaluation of CuO₂ plane hole doping in YBa₂Cu₃O_{6+x} single crystals.* Department of physics and Astronomy, University of British Columbia, 6224 Agricultural Road, Canada.
- Sartono, A. A. 2006. *Difraksi Sinar-X (XRD).* Tugas Akhir Mata Kuliah Proyek Laboratorium. Departemen Fisika Fakultas Matematika dan Ilmu Pengetahuan Alam Universitas Indonesia. Depok.
- Saxena, A.K. 2010. *High – Temperature Superconductors.* Springer:Tokyo.
- Sebastian. 2012. *Scanning Electron Microscopy (SEM).* <http://materialcerdas.wordpress.com/teori-dasar/scanning-electronmicroscopy/feed>.
- Sears and Zemansky. 1985. *Fisika Untuk Universitas 2 Listrik Magnet.* Jakarta: Bina Cipta.
- Serkan ALGAOZ. 2008. *Production of YBCO Superconductor Sample by Powder-In_Tube Method (PITM) and Effect of Cd an Ga Doping on the system.* Inonu University, Departement of Physics, Malatya- TURKEY.
- Silakhudin, 2010. *Penentuan Kriteria Desain Komponen Utama Siklotron 13 MeV.* Pusat Teknologi Akselerator dan Proses Bahan, BATAN , Yogyakarta
- Silakhudin, dkk. 2012. *Penentuan Parameter Komponen Perangkat Uji Sumber Ion Siklotron. Prosiding Pertemuan Ilmiah dan Presentasi Ilmiah Teknologi Akse HKL Technology.*2005. Improving The Processing Of High Temperature Superconductors By Texture Control.
- Soedojo, Peter. 1998. *Azas-azas ilmu fisika jilid 2 listrik magnet.* Yogyakarta: Gajah Mada University Press.
- Sudjatmoko, dkk. 2000. *Kajian Perkembangan Teknologi Akselerator Untuk Radioterapi Kanker.* P3TM- BATAN, Yogyakarta

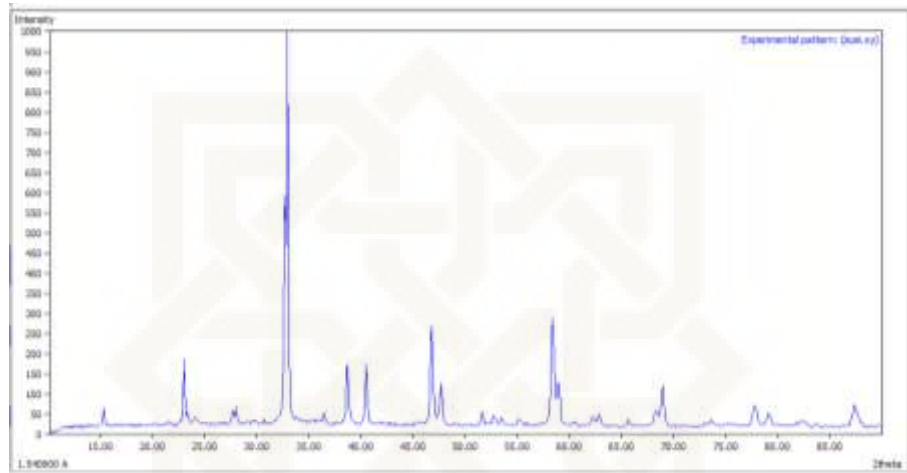
- Sukirman, dkk. 2003. *Review Kegiatan Litbang Superkonduktor Tc tinggi di P3IB-BATAN*. Jurnal Sains Materi Indonesia, Vol.4 No.2 hal 30-39. BATAN: Serpong
- Sukirman, E. W. A. Adi, D.S. Winatapura, dan G.Tj. Sulungbudi. 2003. *Review Kegiatan Litbang Superkonduktor Tc Tinggi di P3IB-BATAN*. Jurnal Sains Materi Indonesia Vol. 4 No. 2, Februari 2003. Hal 30-39.
- Sunarhadijoso. 2010. *Pekkembangan Siklotron dan Aspek Teknis Dalam Program Pembangunan Laboratorium Berbasis Akselerator*. Proseding Seminar Nasional Teknologi Akselerator dan Aplikasinya. Yol.2 No.1 1 November 2000.
- Suprihatin. 2002. *Sintesis Superkonduktor Bi-2212 dengan Kehadiran KCL (tesis)*. ITB. Bandung. 34 hlm.
- Stark, Glen. 2014. *X-Ray Radiation Beam*. <http://www.britannica.com/EBchecked/topic/650351/X-ray>. Diakses 11 mei 2015.
- S Takayama, dkk. 2014. *Superconducting properties of experimental YBCO coil for FFAG accelerator magnets*. Journal Of Physics. 11th European on Applied Superconductivity (EUCAS2013)
- Suyamto. 2009. Fisika Bahan Lisstrik. Pustaka Pelajar: Yogyakarta.
- Suryanarayana, C and Norton, M.G. 1998. X-Ray iffraction A Practicial Approach. New York: Plenum Press: 5 -24
- U.E., Frida.2010. *Chapter V:X-Ray Diffraction*. <http://fisikaunesa.net/ChapterV:X-RayDiffraction.pdf>.
- Waldran JR. 1996. *Superconductivity of metals and cuprates*. Institute of Physics: Bristal.

- Wang Qiu-Liang. 2013. *High Field Superconducting Magnet: Science, Technologi and Applications*. Progress in Physics. 2013. Vol.33 No 1.
- Widdi, Usada. 2011. *Perhitungan Parameter Fisis Sistem Ekstralaor Siklotron 13 MeV Untuk PET*. Jurnal IptekNuklir Ganendra. Vol 14, No 2.
- Widodo, Henry. 2009. *Nanokristalisasi superkonduktor Bi₂Sr₂Ca₂Cu₃O_{10+δ} dan Bi_{1,6}Pb_{0,4}Sr₂Ca₂Cu₃O_{10+δ} dengan Metode Kopresipitasi dan Pencampuran Basah*. ITS. Surabaya.
- Williams et all. 1978. *Journal of Publocation Physics Review*. Vol 37 dipublikasikan tahun 1988. <http://www.crystallography.net/cod/1000030.html>. Diakses 2 Mei 2015. Akselerator dan Aplikasinya .Vol 14 hal22-27 14 November 20t2.
- Windartun. 2008. *Superkonduktor*. Universitas Pendidikan Indonesia. Bandung.
- Winkler, Dag. 2007. *High Temperature Superconductors (I). Microtechnology and nanoscience*, MC2. Chalmers University of Technology and Goteborg University. Sweden.
- Yusuf, HA. 2015. *Pecahkan Rekor Dunia, Kereta Ini Lebih Cepat dari Shinkansen*. <http://www.tempo.co/read/news/2015/04/23/061660057/Pecahkan-Rekor-Dunia-Kereta-Ini-Lebih-Cepat-dari-Shinkansen>. Diakses 2 Mei 2015.
- Y. Suyama, dkk. 1991. *Effect of Oxygen Deficiency on the Superconducting Properties of YBCO*. *Advances in Superconductivity III*. Springer: Verlag Tokyo.
- Zaremba, S. 2005. Magnet For Cyclotrons. Accelerator Physicist, IBA. Zeegse, Netherlands.

LAMPIRAN

Lampiran 1

A. Hasil XRD di *fitted* menggunakan software Match!

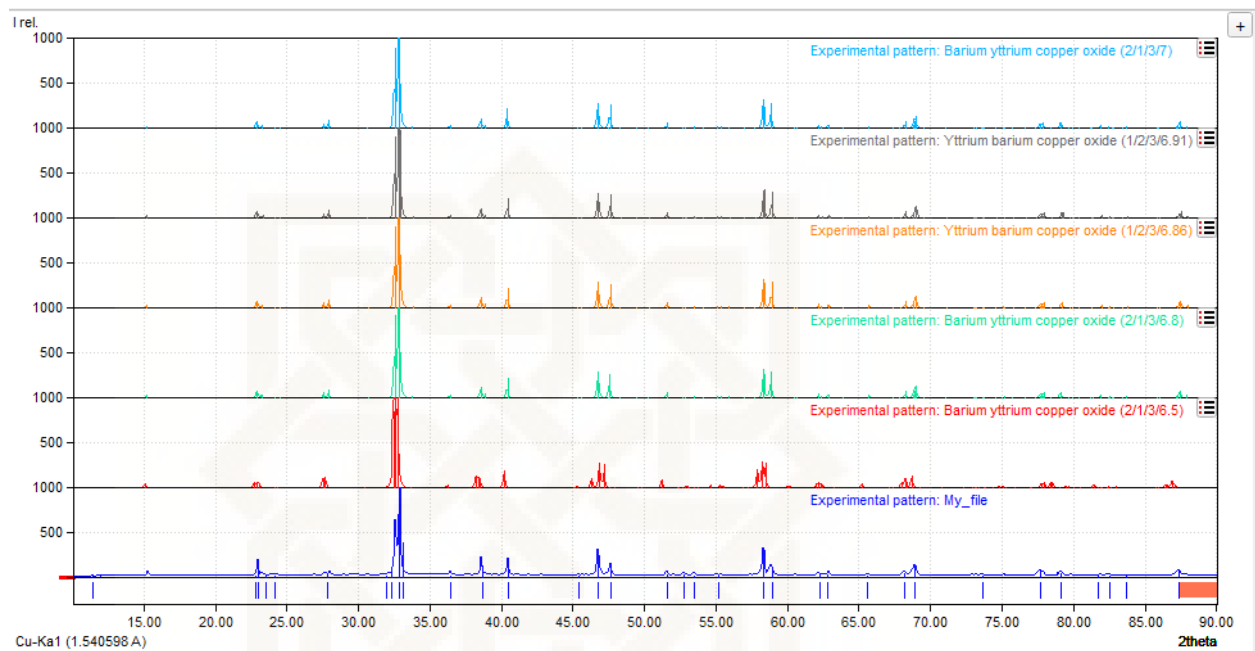


Gambar 1. Difaktogram hasil XRD

Peak List				
No.	2theta [°]	d [Å]	int	FWHM
1	11.41	7.7516	19.97	0.3422
2	11.69	7.5618	19.46	0.3422
3	12.36	7.1554	18.31	0.3422
4	13.58	6.5136	16.69	0.3422
5	13.87	6.3801	15.11	0.3422
6	15.21	5.8188	38.82	0.3422
7	22.75	3.9064	15.70	0.3422
8	22.97	3.8680	113.89	0.3422
9	23.50	3.7829	17.01	0.3422
10	24.10	3.6904	21.80	0.3422
11	27.82	3.2042	47.04	0.3422
12	31.95	2.7987	18.49	0.3422
13	32.33	2.7672	75.39	0.3422
14	32.81	2.7273	1000.00	0.3422
15	36.41	2.4654	26.28	0.3422
15	38.84	2.3282	134.81	0.3422
17	40.46	2.2274	123.30	0.3422
18	48.78	1.8405	250.13	0.3422
19	47.63	1.9078	104.39	0.3422
20	51.61	1.7695	34.27	0.3422
21	52.77	1.7334	32.54	0.3422
22	53.47	1.7122	19.57	0.3422
23	55.18	1.6633	20.59	0.3422
24	58.34	1.5805	295.09	0.3422
25	59.01	1.5640	37.30	0.3422
26	62.25	1.4903	29.82	0.3422
27	62.85	1.4773	31.19	0.3422
28	65.53	1.4213	17.50	0.3422
29	68.91	1.3615	120.85	0.3422
30	73.89	1.2846	17.45	0.3422
31	77.76	1.2272	68.57	0.3422
32	79.16	1.2099	37.60	0.3422
33	82.50	1.1682	19.06	0.3422
34	87.36	1.1153	72.10	0.3422

Gambar 2. Peak List hasil fitted data XRD menggunakan software Match!

B. Fitted data XRD dengan database kode 20150107 menggunakan software match



Gambar 3. Difaktogram XRD sample uji dengan XRD database

Table. Parameter kisi

O-content	a (Å)	b (Å)	c (Å)
$YBa_2Cu_3O_7$	3,8178	3,8839	11,6828
$YBa_2Cu_3O_{6,91}$	3,8121	3,8798	11,6542
$YBa_2Cu_3O_{6,86}$	3,81242	3,8807	11,6527
$YBa_2Cu_3O_{6,8}$	3,82140	3,88490	11,67580
$YBa_2Cu_3O_{6,5}$	3,8468	3,8747	11,7466

(sumber : database COD versi 20150107)

O-content	a (Å)	a (Å)	c (Å)
$YBa_2Cu_3O_{6,97}$	3.81550	3.88203	11.6458

(sumber : database ICSD dengan kode koleksi 83086)

C. PERHITUNGAN INDEKS MILLER

Persamaan Hukum Bragg

$$n\lambda = 2.d.\sin \theta \quad (1)$$

Kristal $YBa_2Cu_3O_{7-x}$ memiliki Kristal orthorombik dan untuk parameter kisi dapat dihitung dengan rumus jarak antar bidang sebagai berikut:

$$\frac{1}{d^2} = \frac{h^2}{a^2} + \frac{k^2}{b^2} + \frac{l^2}{c^2} \quad (2)$$

Dengan menerapkan persamaan hukum Bragg (1) dan mensubtitusikan ke persamaan (2), maka didapatkan persamaan:

$$\sin^2 \theta = \frac{\lambda^2}{4a^2}(h^2) + \frac{\lambda^2}{4b^2}(k^2) + \frac{\lambda^2}{4c^2}(l^2) \quad (3)$$

Diketahui: $\lambda Cu = 0,15406 nm$

Tabel 1. Bidang HKL untuk sampel $YBa_2Cu_3O_{7-x}$

$2\Theta (^{\circ})$	O-content	a(A)	b (A)	c(A)	hkl
32,9274	$YBa_2Cu_3O_7$	3,8178	3,8839	11,6828	110
	$YBa_2Cu_3O_{6,97}$	3,82290	3,88640	11,68050	110
	$YBa_2Cu_3O_{6,8}$	3,82140	3,88490	11,67580	110

Lampiran 2

Analisis Rietica

A. Output Rietica

Hasil output Rietica untuk O-content 6,97

```

View Output: E:\University\PhD\Tomo\Compton\ComptonData.out
File Edit View Insert Options Tools Help
*** MULTISPECTRAL ANALYSIS PROGRAM LH-KIET 7.20C
YBa2Cu3O6.97
NUMBER OF FRAMES = 3
NUMBER OF SPECTRALS = 1
NUMBER OF PARAMETERS = 0
NUMBER OF BOND RESTRAINTS = 0
*** HISTOGRAM 1 ***
FOR X-RAY DATA
MINIMUM-BACKGND ALGORITHM
BACKGROUND TO BE REFINED INMAX + PARAMETER
- POLYNOMIAL BACKGROUND
THE SPECIFIC-VOLUME PROFILE FUNCTION WAS SELECTED
- NO BOND RESTRAINTS, NO BOND LENGTH, AUTOMATIC
WAVELENGTHS = 1.54901 1.54935
ALPHAS2/ALPHAS1 RATIO = 0.8000
BANDWIDTH OF PEAK = 2.0THM* 7.00
NO CORRECTION FOR CRYSTAL SIZE
ABSORPTION CORRECTION FOR CUBIC-ZINN SAMPLE
USING ALGORITHM OF RABINS(1996)/WIDDIGER(1979) WITH mu = 0.0000
NO ILLUMINATION CORRECTIONS
PREFERRED ORIENTATION USING MARC MODEL - NO SUMMING OF EQUIVALENTS
MATERIAL WEIGHTINGS = 1.0000
USING BRAUER-BREHMANN SAMPLE DISPLACEMENTS

OUTPUT STRUCTURE FACTORS
OUTPUT CORRELATION MATRIX
INPUT OUTPUT FILE
NUMBER OF CYCLES = 90
RELAXATION FACTORS
FOR COORDINATES, ISOTROPIC B0 SIZE (OCCUPANCY = 0.90
FOR ANISOTROPIC TEMPERATURE FACTORS 0.90
FOR COORDINATES, CRYSTALLINE, UNIT CELL, PREFERRED ORIENTATION BACKGROUND = 0.90
FOR PEAK WIDTH, ASYMMETRY, SHAPE PARAMETERS = 0.90
XEE-VALUE = 0.100

NUMBER OF PARAMETERS VARIED = 14

GLOBAL PARAMETERS AND COORDINATES:
ZEROPOLY(1) = -0.00 0.00
SAMPLE DISPLACEMENT(1) = -0.01000 11.00
HISTOGRAM OF HEAD IN KELVIN, INTENSITY
HISTOGRAM 1 FROM 10.00000 TO 20.00000 IN STEPS OF 0.000004 DEGREES

BACKGROUND PARAMETERS AND COORDINATES(1):
222.51000 241.391301 -0.9023821 0.0023884 0.000000 0.000000
221.00000 241.00000 0.000000 0.000000 0.000000 0.000000

***** BURSE L *****
A new entry

***** PHASE 12 CALCULATED USING STRUCTURAL INPUT
NUMBER OF FORMULAS PER UNIT CELL = 1
NUMBER OF ATOMS = 6
PREFERRED ORIENTATION VECTOR(1) = 0.0000 0.0000 0.0000
THE SPACE GROUP IS P M N M

*** INITIAL PARAMETERS ***
ATOM TYPE X Y Z B11 B22 B33 B12 B13 B23
Y X-2 0.0000 0.0000 0.0000 0.0000 0.0000 0.0000 0.0000 0.0000 0.0000
B11 0.0000 0.0000 0.0000 0.0000 0.0000 0.0000 0.0000 0.0000 0.0000
B22 0.0000 0.0000 0.0000 0.0000 0.0000 0.0000 0.0000 0.0000 0.0000
B33 0.0000 0.0000 0.0000 0.0000 0.0000 0.0000 0.0000 0.0000 0.0000
C11 Cu+2 0.0000 0.0000 0.0000 0.0000 0.0000 0.0000 0.0000 0.0000 0.0000
C12 Cu+2 0.0000 0.0000 0.0000 0.0000 0.0000 0.0000 0.0000 0.0000 0.0000
C13 Cu+2 0.0000 0.0000 0.0000 0.0000 0.0000 0.0000 0.0000 0.0000 0.0000
C21 Cu+2 0.0000 0.0000 0.0000 0.0000 0.0000 0.0000 0.0000 0.0000 0.0000
C22 Cu+2 0.0000 0.0000 0.0000 0.0000 0.0000 0.0000 0.0000 0.0000 0.0000
C23 Cu+2 0.0000 0.0000 0.0000 0.0000 0.0000 0.0000 0.0000 0.0000 0.0000
O1 O-2 0.0000 0.0000 0.0000 0.0000 0.0000 0.0000 0.0000 0.0000 0.0000
O2 O-2 0.0000 0.0000 0.0000 0.0000 0.0000 0.0000 0.0000 0.0000 0.0000
O3 O-2 0.0000 0.0000 0.0000 0.0000 0.0000 0.0000 0.0000 0.0000 0.0000
O4 O-2 0.0000 0.0000 0.0000 0.0000 0.0000 0.0000 0.0000 0.0000 0.0000
O5 O-2 0.0000 0.0000 0.0000 0.0000 0.0000 0.0000 0.0000 0.0000 0.0000
O6 O-2 0.0000 0.0000 0.0000 0.0000 0.0000 0.0000 0.0000 0.0000 0.0000

***** PHASE INFORMATION *****
OVERALL SCALE FACTOR = 0.0023884
OVERALL TIME, FACTOR = -0.56690
DIRECT CELL PARAMETERS = 3.0230 9.0864 11.6006 90.0000 90.0000 90.0000

*** HISTOGRAM 1 ***
HISTOGRAM SCALE FACTOR = 1.00000 0.00
PREFERRED ORIENTATION PARAMETER = 0.01112
ABSORPTION R = 0.0000
ASYMMETRY PARAMETERS = 0.021000 0.000000
CRYSTALLINE HALF-WIDTH PARAMETERS = 0.0080 -0.0080 0.0080
ANISOTROPIC PARAMETERS = 0.000000
SPECIFIC-VOLUME PROFILE SHAPE = 0.7464 + 0.00000 * TWOINT = 0.000000 + TWOINTSQ
EXTINCTION PARAMETER = 0.000000
THE LATTICE SYMMETRY LAW MMH

*** LIST OF VARIABLES ***
ATOM X Y Z B11 B22 B33 B12 B13 B23
Y 0.00 0.00 0.00 0.00 0.00 0.00 0.00 0.00 0.00
B11 0.00 0.00 0.00 0.00 0.00 0.00 0.00 0.00 0.00
B22 0.00 0.00 0.00 0.00 0.00 0.00 0.00 0.00 0.00
B33 0.00 0.00 0.00 0.00 0.00 0.00 0.00 0.00 0.00
C11 0.00 0.00 0.00 0.00 0.00 0.00 0.00 0.00 0.00
C12 0.00 0.00 0.00 0.00 0.00 0.00 0.00 0.00 0.00
C13 0.00 0.00 0.00 0.00 0.00 0.00 0.00 0.00 0.00
C21 0.00 0.00 0.00 0.00 0.00 0.00 0.00 0.00 0.00
C22 0.00 0.00 0.00 0.00 0.00 0.00 0.00 0.00 0.00
C23 0.00 0.00 0.00 0.00 0.00 0.00 0.00 0.00 0.00
O1 0.00 0.00 0.00 0.00 0.00 0.00 0.00 0.00 0.00
O2 0.00 0.00 0.00 0.00 0.00 0.00 0.00 0.00 0.00
O3 0.00 0.00 0.00 0.00 0.00 0.00 0.00 0.00 0.00
O4 0.00 0.00 0.00 0.00 0.00 0.00 0.00 0.00 0.00
O5 0.00 0.00 0.00 0.00 0.00 0.00 0.00 0.00 0.00
O6 0.00 0.00 0.00 0.00 0.00 0.00 0.00 0.00 0.00

```


AVERAGE INTENSITY DIFFERENCE FOR PATTERN, GIVEN FOR BLOCKS OF 30 OBSERVATIONS																	
NO.	CODE	H	K	L	HW	SHAPE	POSH	ICALC	CORR	DIFF	EDD						
1	-45.0	2	18.5	3	22.6	4	13.9	8	8.9	6	6.0	7	9.2	8	26.2	9	1
2	-8.5	12	31.7	5.9	8.8	1.9	-8.6	1.6	8.6	0.5	10.0	1.7	-29.8	1.8	-2.8	1.0	-1
3	-28.7	22	29.4	2.8	-20.2	2.4	-37.2	2.8	-19.3	2.6	-11.1	3.7	-21.8	3.8	-6.0	2.8	4
4	-28.6	32	-4.7	8.8	-3.8	2.8	-14.7	3.8	-5.8	4.8	-38.4	3.7	0.8	3.8	5.7	3.8	4
5	-28.6	42	21.3	4.8	-4.5	4.8	-4.2	4.8	-4.2	4.8	-38.2	4.7	-14.7	4.8	5.7	4.8	4
6	2	1	0	0	0	0.149	0.749	15.162	1.010	1.023	13.8	3.6	3.6	6.1	6.1	6.1	
7	2	0	0	0	0	0.149	0.749	15.201	5.03	6.97	-5.2	0.1	0.1	0.1	0.1	0.1	
8	2	0	0	0	0	0.146	0.748	22.229	2.241	2.555	13.8	2.6	2.6	2.6	2.6		
9	2	0	0	0	0	0.146	0.748	22.249	1.139	1.207	6.0	3.5	3.5	3.5	3.5		
10	2	0	0	0	0	0.146	0.748	22.271	1.139	1.207	6.0	3.5	3.5	3.5	3.5		
11	2	0	0	0	0	0.146	0.748	22.294	0.86	0.86	2.7	2.7	2.7	2.7	2.7		
12	2	0	0	0	0	0.146	0.748	23.204	3.85	4.04	2.3	2.3	2.3	2.3	2.3		
13	2	0	0	0	0	0.146	0.748	23.316	2.88	2.88	4.9	4.9	4.9	4.9	4.9		
14	2	0	0	0	0	0.146	0.748	24.122	3.82	3.82	3.8	3.8	3.8	3.8	3.8		
15	2	0	0	0	0	0.146	0.748	24.188	4.06	4.06	3.0	3.0	3.0	3.0	3.0		
16	2	0	0	0	0	0.146	0.748	25.300	6.24	6.24	-6.0	-6.0	-6.0	-6.0	-6.0		
17	2	0	0	0	0	0.152	0.748	30.600	2.86	2.86	-1.3	-1.3	-1.3	-1.3	-1.3		
18	2	0	0	0	0	0.152	0.748	30.609	1.73	1.73	-2.8	-2.8	-2.8	-2.8	-2.8		
19	2	0	0	0	0	0.152	0.748	32.347	1.3681	1.3682	8.15.8	8.15.8	8.15.8	8.15.8	8.15.8		
20	2	0	0	0	0	0.152	0.748	32.828	8.788	8.788	-2.0.7	-2.0.7	-2.0.7	-2.0.7	-2.0.7		
21	2	0	0	0	0	0.152	0.748	32.848	1.3681	1.3682	8.15.8	8.15.8	8.15.8	8.15.8	8.15.8		
22	2	0	0	0	0	0.152	0.748	32.849	8.788	8.788	-1.3.8	-1.3.8	-1.3.8	-1.3.8	-1.3.8		
23	2	0	0	0	0	0.152	0.748	32.850	8.788	8.788	-1.3.8	-1.3.8	-1.3.8	-1.3.8	-1.3.8		
24	2	0	0	0	0	0.152	0.748	32.850	8.788	8.788	-1.3.8	-1.3.8	-1.3.8	-1.3.8	-1.3.8		
25	2	0	0	0	0	0.152	0.748	32.851	8.788	8.788	-1.3.8	-1.3.8	-1.3.8	-1.3.8	-1.3.8		
26	2	0	0	0	0	0.152	0.748	32.852	8.788	8.788	-1.3.8	-1.3.8	-1.3.8	-1.3.8	-1.3.8		
27	2	0	0	0	0	0.152	0.748	32.853	8.788	8.788	-1.3.8	-1.3.8	-1.3.8	-1.3.8	-1.3.8		
28	2	0	0	0	0	0.152	0.748	32.854	8.788	8.788	-1.3.8	-1.3.8	-1.3.8	-1.3.8	-1.3.8		
29	2	0	0	0	0	0.152	0.748	32.855	8.788	8.788	-1.3.8	-1.3.8	-1.3.8	-1.3.8	-1.3.8		
30	2	0	0	0	0	0.152	0.748	32.856	8.788	8.788	-1.3.8	-1.3.8	-1.3.8	-1.3.8	-1.3.8		
31	2	0	0	0	0	0.152	0.748	32.857	8.788	8.788	-1.3.8	-1.3.8	-1.3.8	-1.3.8	-1.3.8		
32	2	0	0	0	0	0.152	0.748	32.858	8.788	8.788	-1.3.8	-1.3.8	-1.3.8	-1.3.8	-1.3.8		
33	2	0	0	0	0	0.152	0.748	32.859	8.788	8.788	-1.3.8	-1.3.8	-1.3.8	-1.3.8	-1.3.8		
34	2	0	0	0	0	0.152	0.748	32.860	8.788	8.788	-1.3.8	-1.3.8	-1.3.8	-1.3.8	-1.3.8		
35	2	0	0	0	0	0.152	0.748	32.861	8.788	8.788	-1.3.8	-1.3.8	-1.3.8	-1.3.8	-1.3.8		
36	2	0	0	0	0	0.152	0.748	32.862	8.788	8.788	-1.3.8	-1.3.8	-1.3.8	-1.3.8	-1.3.8		
37	2	0	0	0	0	0.152	0.748	32.863	8.788	8.788	-1.3.8	-1.3.8	-1.3.8	-1.3.8	-1.3.8		
38	2	0	0	0	0	0.152	0.748	32.864	8.788	8.788	-1.3.8	-1.3.8	-1.3.8	-1.3.8	-1.3.8		
39	2	0	0	0	0	0.152	0.748	32.865	8.788	8.788	-1.3.8	-1.3.8	-1.3.8	-1.3.8	-1.3.8		
40	2	0	0	0	0	0.152	0.748	32.866	8.788	8.788	-1.3.8	-1.3.8	-1.3.8	-1.3.8	-1.3.8		
41	2	0	0	0	0	0.152	0.748	32.867	8.788	8.788	-1.3.8	-1.3.8	-1.3.8	-1.3.8	-1.3.8		
42	2	0	0	0	0	0.152	0.748	32.868	8.788	8.788	-1.3.8	-1.3.8	-1.3.8	-1.3.8	-1.3.8		
43	2	0	0	0	0	0.152	0.748	32.869	8.788	8.788	-1.3.8	-1.3.8	-1.3.8	-1.3.8	-1.3.8		
44	2	0	0	0	0	0.152	0.748	32.870	8.788	8.788	-1.3.8	-1.3.8	-1.3.8	-1.3.8	-1.3.8		
45	2	0	0	0	0	0.152	0.748	32.871	8.788	8.788	-1.3.8	-1.3.8	-1.3.8	-1.3.8	-1.3.8		
46	2	0	0	0	0	0.152	0.748	32.872	8.788	8.788	-1.3.8	-1.3.8	-1.3.8	-1.3.8	-1.3.8		
47	2	0	0	0	0	0.152	0.748	32.873	8.788	8.788	-1.3.8	-1.3.8	-1.3.8	-1.3.8	-1.3.8		
48	2	0	0	0	0	0.152	0.748	32.874	8.788	8.788	-1.3.8	-1.3.8	-1.3.8	-1.3.8	-1.3.8		
49	2	0	0	0	0	0.152	0.748	32.875	8.788	8.788	-1.3.8	-1.3.8	-1.3.8	-1.3.8	-1.3.8		
50	2	0	0	0	0	0.152	0.748	32.876	8.788	8.788	-1.3.8	-1.3.8	-1.3.8	-1.3.8	-1.3.8		
51	1	0	0	0	0	0.170	0.749	30.645	5.69	5.69	-30.0	-30.0	0.1	0.1	0.1		
52	1	0	0	0	0	0.170	0.749	30.646	6.07	6.07	-4.1	-4.1	0.1	0.1	0.1		
53	1	0	0	0	0	0.170	0.749	30.647	5.61	5.61	3.3	3.3	0.1	0.1	0.1		
54	1	0	0	0	0	0.170	0.749	30.648	4.34	4.34	4.3	4.3	0.1	0.1	0.1		
55	1	0	0	0	0	0.170	0.749	30.649	4.06	4.06	4.0	4.0	0.1	0.1	0.1		
56	1	0	0	0	0	0.170	0.749	30.650	4.06	4.06	4.0	4.0	0.1	0.1	0.1		
57	1	0	0	0	0	0.170	0.749	30.651	4.06	4.06	4.0	4.0	0.1	0.1	0.1		
58	1	0	0	0	0	0.170	0.749	30.652	4.06	4.06	4.0	4.0	0.1	0.1	0.1		
59	1	0	0	0	0	0.170	0.749	30.653	4.06	4.06	4.0	4.0	0.1	0.1	0.1		
60	1	0	0	0	0	0.170	0.749	30.654	2.63	2.63	2.0	2.0	0.1	0.1	0.1		
61	1	0	0	0	0	0.170	0.749	30.655	2.63	2.63	2.0	2.0	0.1	0.1	0.1		
62	1	0	0	0	0	0.170	0.749	30.656	2.63	2.63	2.0	2.0	0.1	0.1	0.1		
63	1	0	0	0	0	0.170	0.749	30.657	2.63	2.63	2.0	2.0	0.1	0.1	0.1		
64	1	0	0	0	0	0.170	0.749	30.658	2.63	2.63	2.0	2.0	0.1	0.1	0.1		
65	1	0	0	0	0	0.170	0.749	30.659	2.63	2.63	2.0	2.0	0.1	0.1	0.1		
66	1	0	0	0	0	0.170	0.749	30.660	2.63	2.63	2.0	2.0	0.1	0.1	0.1		
67	1	0	0	0	0	0.170	0.749	30.661	2.63	2.63	2.0	2.0	0.1	0.1	0.1		
68	1	0	0	0	0	0.170	0.749	30.662	2.63	2.63	2.0	2.0	0.1	0.1	0.1		
69	1	0	0	0	0	0.170	0.749	30.663	2.63	2.63	2.0	2.0	0.1	0.1	0.1		
70	1	0	0	0	0	0.170	0.749	30.664	2.63	2.63	2.0	2.0	0.1	0.1	0.1		
71	2	0	0	0	0	0.177	0.746	30.532	5.28	5.28	-2.0	-2.0	0.1	0.1	0.1		
72	2	0	0	0	0	0.177	0.746	30.533	5.28	5.28	-2.0	-2.0	0.1	0.1	0.1		
73	2	0	0	0	0	0.177	0.746	30.534	5.28	5.28	-2.0	-2.0	0.1	0.1	0.1		
74	2	0	0	0	0	0.177	0.746	30.535	5.28	5.28	-2.0	-2.0	0.1	0.1	0.1		
75	2	0	0	0	0	0.177	0.746	30.536	5.28	5.28	-2.0	-2.0	0.1	0.1	0.1		
76	2	0	0	0	0	0.177	0.746	30.537	5.28	5.28	-2.0	-2.0	0.1	0.1	0.1		
77	2	0	0	0	0	0.177	0.746	30.538	5.28	5.28	-2.0	-2.0	0.1	0.1	0.1		
78	2	0	0	0	0	0.177	0.746	30.539	5.28	5.28	-2.0	-2.0	0.1	0.1	0.1		
79	2	0	0	0	0	0.177	0.746	30.540	5.28	5.28	-2.0	-2.0	0.1	0.1	0.1		
80	2	0</td															

B. Data hasil analisa dengan software Rietica

YBa ₂ Cu ₃ O _{6.8}					YBa ₂ Cu ₃ O _{6.97}					YBa ₂ Cu ₃ O ₇				
2 Theta	FWHM	H	K	L	2 theta	FWHM	H	K	L	2 theta	FWHM	H	K	L
15.158	0.143	0	0	2	15.163	0.143	0	0	2	15.156	0.143	0	0	2

15.196	0.143	0	0	2	15.201	0.143	0	0	2	15.194	0.143	0	0	2
22.822	0.146	0	0	3	22.829	0.146	0	0	3	22.818	0.146	0	0	3
22.863	0.146	0	1	0	22.872	0.146	0	1	0	22.861	0.146	0	1	0
22.879	0.146	0	0	3	22.887	0.146	0	0	3	22.875	0.146	0	0	3
22.92	0.146	0	1	0	22.929	0.146	0	1	0	22.918	0.146	0	1	0
23.249	0.146	1	0	0	23.256	0.146	1	0	0	23.245	0.146	1	0	0
23.307	0.146	1	0	0	23.315	0.146	1	0	0	23.303	0.146	1	0	0
24.114	0.146	0	1	1	24.122	0.146	0	1	1	24.111	0.146	0	1	1
24.174	0.147	0	1	1	24.183	0.146	0	1	1	24.172	0.146	0	1	1
24.481	0.147	1	0	1	24.488	0.147	1	0	1	24.477	0.147	1	0	1
24.542	0.147	1	0	1	24.55	0.147	1	0	1	24.538	0.147	1	0	1
27.546	0.149	0	1	2	27.556	0.149	0	1	2	27.543	0.149	0	1	2
27.615	0.149	0	1	2	27.625	0.149	0	1	2	27.612	0.149	0	1	2
27.871	0.149	1	0	2	27.879	0.149	1	0	2	27.866	0.149	1	0	2
27.941	0.149	1	0	2	27.95	0.149	1	0	2	27.936	0.149	1	0	2
30.59	0.151	0	0	4	30.6	0.151	0	0	4	30.586	0.151	0	0	4
30.667	0.151	0	0	4	30.678	0.151	0	0	4	30.663	0.151	0	0	4
32.526	0.152	0	1	3	32.537	0.152	0	1	3	32.522	0.152	0	1	3
32.608	0.153	0	1	3	32.62	0.152	0	1	3	32.604	0.152	0	1	3
32.806	0.153	1	0	3	32.816	0.153	1	0	3	32.8	0.153	1	0	3
32.835	0.153	1	1	0	32.847	0.153	1	1	0	32.831	0.153	1	1	0
32.889	0.153	1	0	3	32.9	0.153	1	0	3	32.883	0.153	1	0	3
32.919	0.153	1	1	0	32.93	0.153	1	1	0	32.914	0.153	1	1	0
33.743	0.154	1	1	1	33.755	0.153	1	1	1	33.739	0.153	1	1	1
33.829	0.154	1	1	1	33.841	0.153	1	1	1	33.824	0.154	1	1	1
36.347	0.156	1	1	2	36.36	0.156	1	1	2	36.342	0.156	1	1	2
36.44	0.156	1	1	2	36.453	0.156	1	1	2	36.435	0.156	1	1	2
38.506	0.158	0	0	5	38.519	0.158	0	0	5	38.5	0.158	0	0	5
38.532	0.158	0	1	4	38.545	0.158	0	1	4	38.527	0.158	0	1	4
38.604	0.158	0	0	5	38.618	0.158	0	0	5	38.598	0.158	0	0	5
38.63	0.158	0	1	4	38.645	0.158	0	1	4	38.625	0.158	0	1	4
38.774	0.158	1	0	4	38.786	0.158	1	0	4	38.767	0.158	1	0	4
38.873	0.158	1	0	4	38.886	0.158	1	0	4	38.867	0.158	1	0	4
40.364	0.16	1	1	3	40.378	0.16	1	1	3	40.358	0.16	1	1	3
40.467	0.16	1	1	3	40.482	0.16	1	1	3	40.462	0.16	1	1	3
45.253	0.166	0	1	5	45.269	0.166	0	1	5	45.247	0.166	0	1	5
45.37	0.166	0	1	5	45.387	0.166	0	1	5	45.364	0.166	0	1	5
45.465	0.166	1	0	5	45.48	0.166	1	0	5	45.458	0.166	1	0	5
45.488	0.166	1	1	4	45.504	0.166	1	1	4	45.481	0.166	1	1	4

45.583	0.166	1	0	5	45.6	0.166	1	0	5	45.576	0.166	1	0	5
45.606	0.166	1	1	4	45.623	0.166	1	1	4	45.599	0.166	1	1	4
46.618	0.168	0	0	6	46.633	0.167	0	0	6	46.61	0.168	0	0	6
46.707	0.168	0	2	0	46.724	0.168	0	2	0	46.702	0.168	0	2	0
46.739	0.168	0	0	6	46.756	0.168	0	0	6	46.732	0.168	0	0	6
46.828	0.168	0	2	0	46.847	0.168	0	2	0	46.824	0.168	0	2	0
47.387	0.169	0	2	1	47.405	0.168	0	2	1	47.383	0.169	0	2	1
47.511	0.169	0	2	1	47.53	0.169	0	2	1	47.507	0.169	0	2	1
47.531	0.169	2	0	0	47.546	0.169	2	0	0	47.522	0.169	2	0	0
47.655	0.169	2	0	0	47.672	0.169	2	0	0	47.647	0.169	2	0	0
48.203	0.17	2	0	1	48.219	0.17	2	0	1	48.194	0.17	2	0	1
48.329	0.17	2	0	1	48.346	0.17	2	0	1	48.32	0.17	2	0	1
49.387	0.171	0	2	2	49.406	0.171	0	2	2	49.382	0.171	0	2	2
49.517	0.172	0	2	2	49.537	0.171	0	2	2	49.512	0.172	0	2	2
50.179	0.173	2	0	2	50.195	0.172	2	0	2	50.169	0.172	2	0	2
50.311	0.173	2	0	2	50.328	0.173	2	0	2	50.301	0.173	2	0	2
51.481	0.174	1	1	5	51.499	0.174	1	1	5	51.473	0.174	1	1	5
51.617	0.175	1	1	5	51.636	0.174	1	1	5	51.609	0.175	1	1	5
52.534	0.176	0	1	6	52.552	0.176	0	1	6	52.526	0.176	0	1	6
52.595	0.176	0	2	3	52.614	0.176	0	2	3	52.589	0.176	0	2	3
52.673	0.176	0	1	6	52.692	0.176	0	1	6	52.665	0.176	0	1	6
52.724	0.176	1	0	6	52.742	0.176	1	0	6	52.715	0.176	1	0	6
52.734	0.176	0	2	3	52.755	0.176	0	2	3	52.728	0.176	0	2	3
52.805	0.176	1	2	0	52.824	0.176	1	2	0	52.799	0.176	1	2	0
52.863	0.177	1	0	6	52.882	0.176	1	0	6	52.855	0.176	1	0	6
52.945	0.177	1	2	0	52.966	0.176	1	2	0	52.939	0.177	1	2	0
53.351	0.177	2	0	3	53.369	0.177	2	0	3	53.342	0.177	2	0	3
53.372	0.177	2	1	0	53.39	0.177	2	1	0	53.363	0.177	2	1	0
53.428	0.177	1	2	1	53.448	0.177	1	2	1	53.422	0.177	1	2	1
53.493	0.178	2	0	3	53.512	0.177	2	0	3	53.483	0.177	2	0	3
53.513	0.178	2	1	0	53.532	0.177	2	1	0	53.504	0.177	2	1	0
53.57	0.178	1	2	1	53.591	0.177	1	2	1	53.563	0.178	1	2	1
53.99	0.178	2	1	1	54.008	0.178	2	1	1	53.981	0.178	2	1	1
54.134	0.179	2	1	1	54.153	0.178	2	1	1	54.125	0.178	2	1	1
54.985	0.18	0	0	7	55.004	0.18	0	0	7	54.976	0.18	0	0	7
55.132	0.18	0	0	7	55.152	0.18	0	0	7	55.123	0.18	0	0	7
55.268	0.18	1	2	2	55.289	0.18	1	2	2	55.261	0.18	1	2	2
55.416	0.181	1	2	2	55.437	0.18	1	2	2	55.409	0.181	1	2	2
55.818	0.181	2	1	2	55.836	0.181	2	1	2	55.808	0.181	2	1	2

55.967	0.181	2	1	2	55.987	0.181	2	1	2	55.957	0.181	2	1	2
56.868	0.183	0	2	4	56.89	0.183	0	2	4	56.862	0.183	0	2	4
57.021	0.183	0	2	4	57.044	0.183	0	2	4	57.014	0.183	0	2	4
57.587	0.184	2	0	4	57.606	0.184	2	0	4	57.577	0.184	2	0	4
57.742	0.184	2	0	4	57.763	0.184	2	0	4	57.732	0.184	2	0	4
58.191	0.185	1	1	6	58.211	0.185	1	1	6	58.181	0.185	1	1	6
58.248	0.185	1	2	3	58.269	0.185	1	2	3	58.24	0.185	1	2	3
58.348	0.186	1	1	6	58.369	0.185	1	1	6	58.338	0.185	1	1	6
58.405	0.186	1	2	3	58.428	0.185	1	2	3	58.397	0.186	1	2	3
58.779	0.186	2	1	3	58.799	0.186	2	1	3	58.769	0.186	2	1	3
58.938	0.187	2	1	3	58.959	0.186	2	1	3	58.928	0.186	2	1	3
60.316	0.189	0	1	7	60.337	0.189	0	1	7	60.306	0.189	0	1	7
60.48	0.189	0	1	7	60.503	0.189	0	1	7	60.47	0.189	0	1	7
60.489	0.189	1	0	7	60.511	0.189	1	0	7	60.479	0.189	1	0	7
60.654	0.19	1	0	7	60.676	0.189	1	0	7	60.644	0.19	1	0	7
62.077	0.192	0	2	5	62.101	0.192	0	2	5	62.069	0.192	0	2	5
62.247	0.193	0	2	5	62.272	0.192	0	2	5	62.239	0.193	0	2	5
62.266	0.193	1	2	4	62.29	0.192	1	2	4	62.258	0.193	1	2	4
62.437	0.193	1	2	4	62.462	0.193	1	2	4	62.429	0.193	1	2	4
62.759	0.194	2	0	5	62.781	0.193	2	0	5	62.748	0.194	2	0	5
62.777	0.194	2	1	4	62.799	0.193	2	1	4	62.766	0.194	2	1	4
62.931	0.194	2	0	5	62.954	0.194	2	0	5	62.92	0.194	2	0	5
62.949	0.194	2	1	4	62.973	0.194	2	1	4	62.938	0.194	2	1	4
63.685	0.195	0	0	8	63.707	0.195	0	0	8	63.674	0.195	0	0	8
63.86	0.196	0	0	8	63.884	0.195	0	0	8	63.849	0.196	0	0	8
65.543	0.199	1	1	7	65.566	0.199	1	1	7	65.532	0.199	1	1	7
65.724	0.2	1	1	7	65.749	0.199	1	1	7	65.713	0.199	1	1	7
67.227	0.203	1	2	5	67.253	0.202	1	2	5	67.218	0.203	1	2	5
67.415	0.203	1	2	5	67.442	0.203	1	2	5	67.405	0.203	1	2	5
67.718	0.204	2	1	5	67.742	0.203	2	1	5	67.706	0.204	2	1	5
67.907	0.204	2	1	5	67.933	0.204	2	1	5	67.895	0.204	2	1	5
68.124	0.205	0	2	6	68.15	0.204	0	2	6	68.115	0.204	0	2	6
68.315	0.205	0	2	6	68.343	0.205	0	2	6	68.305	0.205	0	2	6
68.608	0.206	0	1	8	68.633	0.205	0	1	8	68.597	0.206	0	1	8
68.77	0.206	1	0	8	68.795	0.206	1	0	8	68.758	0.206	1	0	8
68.774	0.206	2	0	6	68.798	0.206	2	0	6	68.761	0.206	2	0	6
68.8	0.206	0	1	8	68.827	0.206	0	1	8	68.789	0.206	0	1	8
68.843	0.206	2	2	0	68.869	0.206	2	2	0	68.833	0.206	2	2	0
68.963	0.206	1	0	8	68.99	0.206	1	0	8	68.951	0.206	1	0	8

68.967	0.206	2	0	6	68.993	0.206	2	0	6	68.954	0.206	2	0	6
69.036	0.207	2	2	0	69.064	0.206	2	2	0	69.026	0.206	2	2	0
69.376	0.207	2	2	1	69.402	0.207	2	2	1	69.366	0.207	2	2	1
69.572	0.208	2	2	1	69.599	0.207	2	2	1	69.561	0.208	2	2	1
70.966	0.211	2	2	2	70.993	0.211	2	2	2	70.955	0.211	2	2	2
71.167	0.211	2	2	2	71.195	0.211	2	2	2	71.156	0.211	2	2	2
72.816	0.215	0	0	9	72.843	0.215	0	0	9	72.803	0.215	0	0	9
72.968	0.216	0	3	0	72.998	0.215	0	3	0	72.96	0.216	0	3	0
73.024	0.216	0	0	9	73.053	0.215	0	0	9	73.011	0.216	0	0	9
73.058	0.216	1	2	6	73.087	0.215	1	2	6	73.048	0.216	1	2	6
73.177	0.216	0	3	0	73.209	0.216	0	3	0	73.169	0.216	0	3	0
73.267	0.216	1	2	6	73.298	0.216	1	2	6	73.257	0.216	1	2	6
73.489	0.217	0	3	1	73.519	0.217	0	3	1	73.481	0.217	0	3	1
73.528	0.217	1	1	8	73.556	0.217	1	1	8	73.516	0.217	1	1	8
73.532	0.217	2	1	6	73.559	0.217	2	1	6	73.518	0.217	2	1	6
73.582	0.217	2	2	3	73.61	0.217	2	2	3	73.571	0.217	2	2	3
73.699	0.217	0	3	1	73.731	0.217	0	3	1	73.691	0.217	0	3	1
73.739	0.218	1	1	8	73.768	0.217	1	1	8	73.726	0.217	1	1	8
73.742	0.218	2	1	6	73.771	0.217	2	1	6	73.729	0.217	2	1	6
73.793	0.218	2	2	3	73.823	0.217	2	2	3	73.782	0.218	2	2	3
74.385	0.219	3	0	0	74.411	0.219	3	0	0	74.37	0.219	3	0	0
74.599	0.22	3	0	0	74.627	0.219	3	0	0	74.584	0.219	3	0	0
74.902	0.22	3	0	1	74.928	0.22	3	0	1	74.886	0.22	3	0	1
74.958	0.221	0	2	7	74.988	0.22	0	2	7	74.947	0.22	0	2	7
75.042	0.221	0	3	2	75.073	0.22	0	3	2	75.034	0.221	0	3	2
75.118	0.221	3	0	1	75.146	0.221	3	0	1	75.102	0.221	3	0	1
75.175	0.221	0	2	7	75.206	0.221	0	2	7	75.164	0.221	0	2	7
75.259	0.221	0	3	2	75.292	0.221	0	3	2	75.25	0.221	0	3	2
75.583	0.222	2	0	7	75.611	0.222	2	0	7	75.569	0.222	2	0	7
75.802	0.223	2	0	7	75.831	0.222	2	0	7	75.788	0.223	2	0	7
76.445	0.224	3	0	2	76.472	0.224	3	0	2	76.429	0.224	3	0	2
76.667	0.225	3	0	2	76.696	0.224	3	0	2	76.651	0.225	3	0	2
77.188	0.226	2	2	4	77.218	0.226	2	2	4	77.176	0.226	2	2	4
77.413	0.227	2	2	4	77.445	0.226	2	2	4	77.401	0.227	2	2	4
77.474	0.227	0	1	9	77.504	0.227	0	1	9	77.461	0.227	0	1	9
77.607	0.227	0	3	3	77.639	0.227	0	3	3	77.598	0.227	0	3	3
77.629	0.227	1	0	9	77.658	0.227	1	0	9	77.615	0.227	1	0	9
77.701	0.228	0	1	9	77.732	0.227	0	1	9	77.687	0.227	0	1	9
77.778	0.228	1	3	0	77.81	0.227	1	3	0	77.769	0.228	1	3	0

77.834	0.228	0	3	3	77.868	0.228	0	3	3	77.825	0.228	0	3	3
77.856	0.228	1	0	9	77.887	0.228	1	0	9	77.842	0.228	1	0	9
78.005	0.228	1	3	0	78.04	0.228	1	3	0	77.996	0.228	1	3	0
78.287	0.229	1	3	1	78.32	0.229	1	3	1	78.278	0.229	1	3	1
78.517	0.23	1	3	1	78.552	0.229	1	3	1	78.508	0.23	1	3	1
78.995	0.231	3	0	3	79.024	0.231	3	0	3	78.979	0.231	3	0	3
79.012	0.231	3	1	0	79.041	0.231	3	1	0	78.996	0.231	3	1	0
79.228	0.232	3	0	3	79.258	0.231	3	0	3	79.212	0.232	3	0	3
79.244	0.232	3	1	0	79.275	0.231	3	1	0	79.229	0.232	3	1	0
79.519	0.233	3	1	1	79.548	0.232	3	1	1	79.503	0.232	3	1	1
79.728	0.233	1	2	7	79.76	0.233	1	2	7	79.716	0.233	1	2	7
79.754	0.233	3	1	1	79.785	0.233	3	1	1	79.738	0.233	3	1	1
79.81	0.233	1	3	2	79.844	0.233	1	3	2	79.8	0.233	1	3	2
79.964	0.234	1	2	7	79.998	0.233	1	2	7	79.951	0.234	1	2	7
80.046	0.234	1	3	2	80.082	0.234	1	3	2	80.036	0.234	1	3	2
80.188	0.234	2	1	7	80.219	0.234	2	1	7	80.174	0.234	2	1	7
80.426	0.235	2	1	7	80.458	0.235	2	1	7	80.411	0.235	2	1	7
81.036	0.237	3	1	2	81.066	0.236	3	1	2	81.02	0.237	3	1	2
81.157	0.237	0	3	4	81.191	0.237	0	3	4	81.147	0.237	0	3	4
81.277	0.237	3	1	2	81.309	0.237	3	1	2	81.261	0.237	3	1	2
81.398	0.238	0	3	4	81.435	0.237	0	3	4	81.388	0.238	0	3	4
81.751	0.239	2	2	5	81.784	0.238	2	2	5	81.738	0.239	2	2	5
81.996	0.24	2	2	5	82.03	0.239	2	2	5	81.982	0.239	2	2	5
82.202	0.24	1	1	9	82.235	0.24	1	1	9	82.188	0.24	1	1	9
82.333	0.241	1	3	3	82.368	0.24	1	3	3	82.322	0.24	1	3	3
82.449	0.241	1	1	9	82.483	0.24	1	1	9	82.434	0.241	1	1	9
82.52	0.241	0	0	10	82.552	0.241	0	0	10	82.505	0.241	0	0	10
82.53	0.241	3	0	4	82.561	0.241	3	0	4	82.513	0.241	3	0	4
82.58	0.241	1	3	3	82.617	0.241	1	3	3	82.569	0.241	1	3	3
82.585	0.241	0	2	8	82.619	0.241	0	2	8	82.573	0.241	0	2	8
82.768	0.242	0	0	10	82.802	0.241	0	0	10	82.753	0.242	0	0	10
82.778	0.242	3	0	4	82.81	0.241	3	0	4	82.761	0.242	3	0	4
82.833	0.242	0	2	8	82.869	0.242	0	2	8	82.82	0.242	0	2	8
83.194	0.243	2	0	8	83.226	0.243	2	0	8	83.178	0.243	2	0	8
83.445	0.244	2	0	8	83.479	0.243	2	0	8	83.429	0.244	2	0	8
83.551	0.244	3	1	3	83.582	0.244	3	1	3	83.534	0.244	3	1	3
83.803	0.245	3	1	3	83.836	0.244	3	1	3	83.786	0.245	3	1	3
85.673	0.251	0	3	5	85.71	0.25	0	3	5	85.662	0.251	0	3	5
85.841	0.251	1	3	4	85.878	0.251	1	3	4	85.829	0.251	1	3	4

85.935	0.252	0	3	5	85.974	0.251	0	3	5	85.923	0.251	0	3	5
86.103	0.252	1	3	4	86.142	0.252	1	3	4	86.092	0.252	1	3	4
87.035	0.255	3	0	5	87.069	0.254	3	0	5	87.017	0.255	3	0	5
87.042	0.255	0	1	10	87.077	0.255	0	1	10	87.026	0.255	0	1	10
87.051	0.255	3	1	4	87.085	0.255	3	1	4	87.034	0.255	3	1	4
87.193	0.256	1	0	10	87.228	0.255	1	0	10	87.176	0.255	1	0	10
87.258	0.256	1	2	8	87.294	0.255	1	2	8	87.243	0.256	1	2	8
87.261	0.256	2	2	6	87.296	0.255	2	2	6	87.246	0.256	2	2	6
87.303	0.256	3	0	5	87.339	0.255	3	0	5	87.285	0.256	3	0	5
87.31	0.256	0	1	10	87.347	0.255	0	1	10	87.294	0.256	0	1	10
87.32	0.256	3	1	4	87.355	0.255	3	1	4	87.302	0.256	3	1	4
87.462	0.256	1	0	10	87.499	0.256	1	0	10	87.445	0.256	1	0	10
87.527	0.257	1	2	8	87.565	0.256	1	2	8	87.512	0.256	1	2	8
87.53	0.257	2	2	6	87.568	0.256	2	2	6	87.515	0.256	2	2	6
87.711	0.257	2	1	8	87.746	0.257	2	1	8	87.694	0.257	2	1	8
87.982	0.258	2	1	8	88.02	0.258	2	1	8	87.966	0.258	2	1	8

Lampiran 3

Design siklotron

A. Perhitungan medan magnet (**B**)

V adalah kecepatan ion ketika bergerak menuruti lintasan yang radiusnya R

$$v = BR \frac{q}{m} \quad (1)$$

Dan energy kinetiknya adalah

$$\begin{aligned} EK &= \frac{1}{2}mv^2 \\ &= \frac{1}{2}m\left(BR \frac{q}{m}\right)^2 \\ &= \frac{q^2}{2m}B^2R^2 \end{aligned} \quad (2)$$

$$205MeV = \frac{1,6 \times 10^{-19}}{2 \times (1,67 \times 10^{-27} kg)} B^2 0,495^2$$

$$3,2841 \times 10^{-11} \text{ joule} = 9,408 \times 10^{-13} B^2$$

$$B^2 = 34,1$$

$$B = 5,84T$$

Besarnya mean magnet solenoid

$$l_n = 2\pi N_n(a + (a + d) + (a + 2d) + \dots + (a + (n - 1)d)) \quad B = \frac{\mu I N}{2l} \quad (3)$$

Menghitung jumlah lilitan erlapisan

$$N_n = \frac{L}{d} \quad (4)$$

Menghitung panjang total untuk n lapisan

$$l_n = 2\pi N_n(a + (a + d) + (a + 2d) + \dots + (a + (n - 1)d)) \quad (5)$$

Dengan

B: Induksi magnetik

a : jari-jari inductor

μ : Permeabilitas

d : ukuran diameter kawat penyusun induktor

I : Arus listrik

N: jumlah lilitan kawat

q : muatan proton

n : jumlah lapisan

m : massa proton

L: panjang induktor

B. Data dimensi kawat superkonduktor

Energi (MeV)	Medan magnet (T)	Koil A (m)	Koil B (m)
30	2.23	154. 50	309.69
35	2.41	166.62	334.63
40	2.58	178.12	357.84
45	2.74	189.00	379.65
50	2.88	199.35	384.06
55	3.03	209.15	384.39
60	3.16	218.52	384.69
65	3.29	227.51	384.99
70	3.41	236.16	385.27
75	3.53	244.50	385.55
80	3.65	252.57	385.81
85	3.76	260.40	386.07
90	3.87	267.99	386.32
95	3.98	275.38	386.56
100	4.08	282.57	386.80
105	4.18	289.59	396.04
110	4.28	296.44	409.97
115	4.37	303.14	423.59
120	4.47	309.69	436.91
125	4.56	316.11	449.96
130	4.65	322.40	462.74
135	4.74	328.57	475.29
140	4.83	334.63	487.61
145	4.91	340.58	499.70
150	5.00	346.43	511.59
155	5.08	352.18	523.29
160	5.16	357.84	534.79
165	5.24	363.42	546.12
170	5.32	368.90	557.28
175	5.40	374.31	568.28
180	5.47	379.65	579.11
185	5.55	383.81	584.51
190	5.62	383.90	584.85
195	5.70	383.98	585.19
200	5.77	384.06	585.52
205	5.84	384.15	585.85